

Predicting Binding Affinity of Some Imatinib Derivatives as BCR-ABL Tyrosine Kinase Inhibitors Based on Monte Carlo Optimization

Shahram Lotfi¹ , Shahin Ahmadi^{2*} , Sharare Vardast Baghmisheh³ , Ali Almasirad² 

¹ Dept of Chemistry, Payame Noor University (PNU), Tehran, Iran

² Dept of Pure and Pharmaceutical Chemistry, Faculty of Pharmaceutical Chemistry, Tehran medical sciences, Islamic Azad University, Tehran, Iran

³ Faculty of Pharmacy, Tehran Medical Sciences, Islamic Azad University, Tehran, Iran

Article Info

A B S T R A C T

Article type:
Research article

Introduction: The Imatinib drug is used to treat blood cancer by inhibiting the BCR-ABL tyrosine kinase enzyme, which prevents the proliferation of cancer cells.

Materials & Methods: In order to predict the binding affinity of 555 compounds of imatinib derivatives as ABL-BCR tyrosine kinase inhibitors, quantitative structure-activity relationship (QSAR) modeling was performed using the Monte Carlo method. The data were randomly divided into four series, including training, invisible training, calibration, and validation sets, as well as they were randomly repeated three times.

Results: The results of three random divisions indicated reliable models for predicting the set of external tests with correlation coefficient (R^2) and cross-validation correlation coefficient (Q^2) in the range of 0.8575-0.8775 and 0.7620-0.7793. Consequently, the obtained models help identify hybrid descriptors for increasing or decreasing binding affinity (K_i) as BCR-ABL tyrosine kinase inhibitors. The mechanical interpretation of the model is given in the form of a report of descriptors that decrease and increase pK_i , as well as examples of these descriptors.

Conclusion: The results reveal that the designed models can be considerably effective in estimating the biological effect of imatinib derivatives proposed by researchers and medicinal chemists. Therefore, it is possible to predict its possible biological effects by spending less time and money before conducting *in vitro* or *in vivo* experiments.

*** Correspondence to:**

Shahin Ahmadi
Dept of Pure and Pharmaceutical Chemistry, Faculty of Pharmaceutical Chemistry, Tehran medical sciences, Islamic Azad University, Tehran, Iran

Email:
ahmadi.chemometrics@gmail.com

Keywords: Quantitative structure-activity relationship (QSAR), Chronic myeloid leukemia, Imatinib derivatives, Tyrosine kinase inhibitor, Binding affinity

How to cite this paper: Lotfi Sh, Ahmadi Sh, Vardast Baghmisheh Sh, Almasirad A. Predicting Binding Affinity of Some Imatinib Derivatives as BCR-ABL Tyrosine Kinase Inhibitors Based on Monte Carlo Optimization. *Journal of Ilam University of Medical Sciences*. 2024;32(4):66-86.



© The Author(s)

Publisher: Ilam University of Medical Sciences

پیشگویی تمایل اتصال تعدادی از مشتقات ایماتینیب به عنوان مهارکننده‌های تیروزین کیناز بر اساس بهینه‌سازی موتفت کارلو

شهرام لطفی^۱، شهین احمدی^{۲*}، شراره وردست باغمیشه^۳، علی الماسی راد^۲

^۱ گروه شیمی، دانشگاه پیام نور، تهران، ایران

^۲ گروه شیمی (محض-داروئی)، دانشکده شیمی داروئی، علوم پزشکی تهران، دانشگاه آزاد اسلامی، تهران، ایران

^۳ گروه شیمی داروئی، دانشکده داروسازی، علوم پزشکی تهران، دانشگاه آزاد اسلامی، تهران، ایران

چکیده

اطلاعات مقاله

مقدمه: بیماری لوسمی میلولید مزمن نوعی از سرطان خون است که به تولید ژن جدیدی به نام BCR-ABL منجر می‌شود و حاوی دستورالعمل تولید پروتئین تیروزین کیناز توسط سلول‌های غیرطبیعی خون است. داروی ایماتینیب برای درمان این سرطان استفاده می‌گردد که با مهار آنزیم تیروزین کیناز BCR-ABL، از تکثیر سلول‌های سرطانی جلوگیری می‌کند.

مواد و روش‌ها: بهمنظور پیشگویی تمایل اتصال ترکیب از مشتقات ایماتینیب به عنوان مهارکننده ABL-BCR تیروزین کیناز، مدل‌سازی رابطه کمی ساختار-فعالیت (QSAR) با استفاده از روش مونت کارلو انجام شد. داده‌ها به صورت تصادفی به چهار سری آموزش، آموزش منفعل، کالیراسیون و آزمون تقسیم و به صورت تصادفی ۳ بار تکرار گردید.

یافته‌های پژوهش: نتایج حاصل از سه تقسیم تصادفی، مدل‌های قابل اعتمادی را برای پیش‌بینی مجموعه آزمون‌های خارجی با ضریب همبستگی (R²) و ضریب همبستگی اعبارسنجدی مقاطعه (Q₂) در محدوده ۰/۸۵۷۵-۰/۸۷۷۵ و ۰/۷۷۹۳-۰/۷۶۲۰ نشان داد؛ درنتیجه، مدل‌های بدست آمده به شناسایی توصیفگرهای هیبریدی برای افزایش و کاهش تمایل اتصال (Ki) به عنوان مهارکننده BCR-ABL تیروزین کیناز کمک می‌کنند. تفسیر مکانیکی مدل به صورت گزارشی از توصیفگرهای کاهنده و افزاینده pKi و همچنین مثال‌هایی از این توصیفگرهای آمده است.

بحث و نتیجه‌گیری: نتایج نشان می‌دهد که مدل‌های طراحی شده می‌تواند در تخمین اثر بیولوژیکی مشتقات ایماتینیب پیشنهادی توسط محققان و متخصصان شیمی داروئی بسیار مؤثر باشد؛ بنابراین، با صرف هزینه و زمان کمتر و پیش از انجام آزمایش‌های برون‌تن یا درون‌تن می‌توان آثار بیولوژیک احتمالی آن را پیش‌بینی کرد.

واژه‌های کلیدی: QSAR، لوسمی مزمن میلولیدی، مشتقات ایماتینیب، مهارکننده‌های تیروزین کیناز، تمایل اتصال

نوع مقاله: پژوهشی

تاریخ دریافت: ۱۴۰۲/۱۰/۰۹

تاریخ ویرایش: ۱۴۰۲/۱۲/۲۴

تاریخ پذیرش: ۱۴۰۳/۰۲/۳۰

تاریخ انتشار: ۱۴۰۳/۰۷/۱۴

نویسنده مسئول:

شهین احمدی

گروه شیمی (محض-داروئی)،

دانشکده شیمی داروئی، علوم

پزشکی تهران، دانشگاه آزاد

اسلامی، تهران، ایران

Email:

ahmadi.chemometrics@gmail.com

استناد: لطفی شهرام، احمدی شهین، وردست باغمیشه شراره، الماسی راد علی. پیشگویی تمایل اتصال تعدادی از مشتقات ایماتینیب به عنوان مهارکننده‌های تیروزین کیناز بر اساس

بهینه‌سازی مونت کارلو. مجله دانشگاه علوم پزشکی ایلام، مهر ۱۴۰۳؛ ۳۲(۴): ۸۶-۹۶.



افزایش دهد، مطلوب است. در علم شیمی دارویی، فعالیت بیولوژیکی مانند ویژگی‌های فیزیکی- شیمیابی و خواص شیمیابی ترکیبات آلی به ساختار مولکولی آن‌ها وابسته است. طراحی دارو به کمک کامپیوتر بر اساس روش‌های کمی ساختار-فعالیت (QSAR) یکی از ابزارهایی است که می‌تواند سرعت و بازده فرایند کشف دارو را افزایش دهد. مدل‌سازی QSAR یک پیشگویی و تشخیص است که برای یافتن ارتباط میان ساختارهای شیمیابی و فعالیت بیولوژیکی بر اساس معادلات ریاضی و روابط آماری استفاده می‌شود و در تلاش برای برآوردن نیاز و تمایل شیمیدانان دارویی برای پیش‌بینی پاسخ بیولوژیکی ترکیبات تازه مهندسی شده یا توسعه‌نیافرته تکامل یافته است.

CORAL

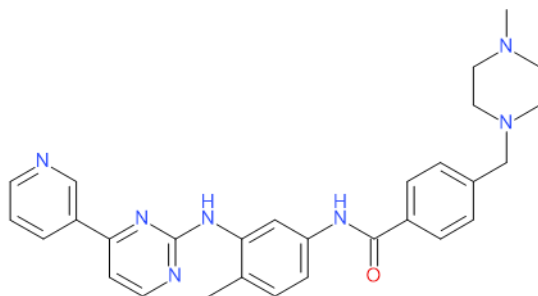
نرم‌افزار

(<http://www.insilico.eu/coral>) به عنوان ابزاری مؤثر برای پیش‌بینی نقاط پایانی و مؤلفه‌های ارزیابی عملکرد بیولوژیکی خاص (مانند IC₅₀ [متوسط غلظت کشته‌ده]، Ki [تمایل اتصال]، LD₅₀ [متوسط دوز کشته‌ده]، درصد بازداری و غیره) مواد شیمیابی مختلف با استفاده از آنالیز QSAR پیاده‌سازی شده است. این نرم‌افزار با استفاده از یک نماد سیستم ورودی خطی مولکولی ساده‌شده (SMILES)، مدل‌هایی را برای نقاط پایانی مختلف ایجاد می‌کند تا ساختار شیمیابی را منعکس کند. توصیفگرهای بهینه از SMILES و با استفاده از روش بهینه‌سازی مونت کارلو محاسبه می‌شوند که در آن از ضریب همبستگی بین نقطه پایانی و توصیفگر بهینه برای محاسبه تابع هدف استفاده می‌گردد (۹-۶).

- هدف از این تحقیق مطالعه رابطه کمی ساختار-فعالیت ۵۵۵ ترکیب از مشتقات ایماتینیب (شکل شماره ۱) بر اساس الگوریتم مونت کارلو و با استفاده از توصیفگرهای توسط نرم‌افزار CORAL، به منظور پیش‌بینی تمایل اتصال (Ki) آن‌ها در برابر آنزیم تیروزین کیناز BCR-ABL (TK) است.

بر اساس گزارش سازمان بهداشت جهانی (WHO)، سرطان دومین عامل مرگ‌ومیر در جهان پس از بیماری‌های قلبی عروقی است و تخمین زده شده است که ۱۵ میلیون نفر تا سال ۲۰۳۰ بر اثر سرطان در سراسر جهان جان خود را از دست بدند (۱). بیماری لوسومی میلوبئید مزمن (CML) یکی از انواع سرطان خون است که از اختلال کروموزومی در سلول‌های بنیادین خون‌ساز مغز استخوان منشأ می‌گیرد. نتیجه این اختلال کروموزومی تولید انکوژن کایمیریک- BCR-ABL است که تولید یک پروتئین تیروزین کیناز (TK) با فعالیت بالا را کد می‌کند (۲). ایماتینیب (Imatinib) اولین BCR-ABL TK دارویی است که به عنوان یک مهارکننده CML در درمان بیماران استفاده شده است. این دارو با مهار رقابتی اتصال ATP به آنزیم BCR-ABL، مانع فسفریلاسیون سوبسترا می‌گردد و فعالیت آن را مسدود می‌کند و از انتقال سیگنال‌های ضروری برای عملکرد سلولی جلوگیری می‌نماید (۳). با این حال، برخی از بیماران به‌ویژه در مراحل پیشرفته CML، به علت جهش‌های نقطه‌ای در بخش BCR-ABL کیناز یا با بیان پیش‌از‌حد BCR-ABL، نسبت به داروی ایماتینیب مقاومت نشان می‌دهند؛ بنابراین، برای غلبه بر این مقاومت، به توسعه مهارکننده‌های دیگر از مشتقات ایماتینیب نیلوتینیب، (۴). مشتقات جدیدی از ایماتینیب مانند پوناتینیب، نیلوتینیب، داساتینیب، بوسوتینیب و غیره به عنوان TKI طراحی و در بیماران مبتلا به سرطان خون آزمایش شده است. همسو با آن، نشان داده شده است که مهارکننده‌های BCR-ABL، به‌ویژه مشتقات ایماتینیب، پتانسیل فراوانی در هدایت و توسعه درمان‌های جدیدتر و کارآمدتر در مقابله با CML دارند (۲، ۵).

طراحی، توسعه و تجاری کردن یک دارو فرایندی پیچیده، وقت‌گیر و هزینه‌بر است. به علل یادشده، هر وسیله یا روشی که سرعت و بازده هر مرحله از فرایند کشف دارو را



شکل شماره ۱. ساختار مولکولی ایماتینیب

درصد، کالیبراسیون ۲۰ درصد و آزمون ۳۵ درصد از داده‌ها اختصاص داده شد. وظایف هر دسته از داده‌ها در روش توازن همبستگی عبارت است از: دسته آموزش: برای تهیه مدل QSAR با محاسبه CW‌ها (وزن‌های همبستگی) که بیشترین ضریب همبستگی بین DCW(T, N) و pKi دارد؛ دسته آموزش منفعل: تأیید اینکه ضرایب همبستگی برای ترکیباتی که در دسته آموزش نیستند، خوب است؛ دسته کالیبراسیون: آشکار کردن شروع بیش برآذش؛ دسته آزمون: برای تخمین نهایی از قدرت پیشگویی مدل (آشکارساز یک مدل خوب) (۱۱-۱۳). این کار سه بار به صورت تصادفی انجام شده است. برای توسعه مدل‌های QSAR از تابع هدف جدیدی به نام شاخص ایدئال همبستگی استفاده شده که نتایج بهتری نشان داده است. درنهایت، گروه‌های عاملی یا ساختارهای متصل شده به پیکره اصلی ایماتینیب که مسئول افزایش یا کاهش میزان تمايل اتصال به تیروزین کیناز BCR-ABL (TK) هستند، استخراج گردید و می‌تواند برای درک کسازوکار تمايل اتصال به کار برد شود.

این پژوهش مطابق با نظر کمیته ای اخلاق دانشگاه علوم پزشکی آزاد اسلامی تهران به شماره IR.IAU.PS.REC.1400.260 انجام شده است.

انتخاب توصیفگرهای مولکولی مناسب:

محاسبه و تولید توصیفگرهای مولکولی یکی از مراحل مهم در مدل‌سازی QSAR است. سه گزینه برای انتخاب توصیفگرهای بهینه در نرم‌افزار مدل‌سازی CORAL وجود دارد: الف. توصیفگرهای مبتنی بر SMILES؛ ب. توصیفگرهای مولکولی بر اساس گراف مولکولی؛ ج.

مواد و روش‌ها

تهیه و آماده‌سازی داده‌ها یکی از مسائلی است که در حوزه طراحی دارو از اهمیت ویژه‌ای برخوردار است. معمولاً در مدل‌سازی QSAR، از فعالیت بیولوژیکی ترکیبات که پیش‌تر به صورت تجربی در آزمایشگاه اندازه‌گیری شده باشد، استفاده می‌شود. به این منظور، مشتقات ایماتینیب استفاده شده به همراه داده‌های میزان تمايل اتصال (Ki) آن‌ها برای ایجاد مدل QSAR از مقاله زین و همکارانش استخراج شده است (۱۰). ساختار مولکولی ترکیبات انتخاب شده توسط نرم‌افزار BIOVIA 2019 رسم گردید و به عنوان داده‌های ورودی نرم‌افزار CORAL به صورت نمادهای اسلی تبدیل شد. مدل‌سازی به کمک نرم‌افزار کورال، به بهینه‌سازی مولکول که فرایندی زمان‌بر است (به‌ویژه برای داده‌های بسیار فراوان این تحقیق)، نیاز ندارد و می‌توان مدل‌های جهانی را برای داده‌های بزرگ توسعه داد. برخلاف بسیاری از نرم‌افزارهای مدل‌سازی دیگر، همه مراحل مدل‌سازی در محیط نرم‌افزار انجام می‌شود و به نرم‌افزارهای تولید توصیفگر و انتخاب متغیر جداگانه نیاز ندارد.

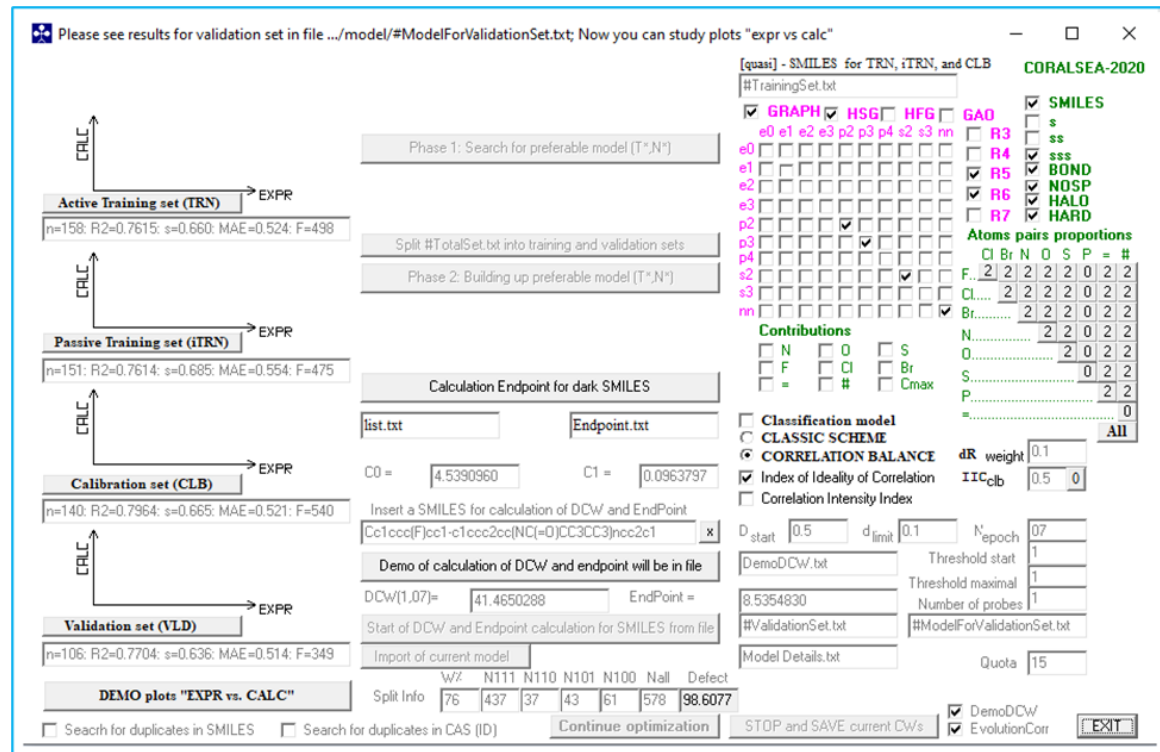
نماد اسلی ترکیبات و میزان عددی تمايل اتصال آن‌ها در جدول S1 به عنوان داده‌های همراه مقاله ارائه گردیده است. داده‌های تجربی مربوط به این ترکیبات در برابر تیروزین کیناز (TK) BCR-ABL به صورت منفی لگاریتم (pKi) به کار برد شد. برای مدل‌سازی رابطه کمی ساختار-فعالیت از تابع pKi به عنوان متغیر وابسته استفاده گردید که مقدار آن از ۴/۲۴ تا ۱۰/۷۳ متغیر است. داده‌ها به صورت تصادفی به چهار گروه، دسته آموزش، آموزش منفعل، کالیبراسیون و آزمون تقسیم شده است. به دسته آموزش فعال (Active Training) (۱۰)

توصیفگرهای هیریدی که از ترکیب هر دو گراف مولکولی و SMILES محاسبه می‌شوند؛ د. توصیفگرها مولکولی که شرایط انجام آزمایش در آن تعریف می‌شود (Quasi-SMILES) (۱۴، ۱۵)؛ همچنین در نرم‌افزار CORAL، سه نوع گراف مولکولی ارائه داده می‌شود: ۱. گراف مولکولی بدون هیدروژن (HSG)؛ ۲. گراف مولکولی با هیدروژن (HFG) و

$$\text{HybridDCW}(T, N_{\text{epoch}}) = \text{SMILES}_{\text{DCW}}(T, N_{\text{epoch}}) + \text{Graph}_{\text{DCW}}(T, N_{\text{epoch}}) \quad (1)$$

هیریدی بهینه که ترکیبی از HSG و SMILES است، برای تولید مدل‌های QSAR استفاده شده است. درباره نسبت‌های جفت اتم‌ها، هنگامی از این دسته از توصیفگرها استفاده می‌شود که بخواهیم حضور دوتایی از توصیفگرها Cl, Br, N, P, S، O، باند دوگانه (=) و باند سه‌گانه (#) را در مدل‌سازی بررسی کنیم. در صورتی که این اتم‌ها در ساختارها مشاهده نگردد، وضعیت انتخاب را در وضعیت «۰» قرار می‌دهیم. همان‌طور که در مدل‌سازی این دسته از داده‌ها، برای اتم فسفر (P) این وضعیت را «۰» قرار دادیم (شکل شماره ۲)، در صورتی که اتم‌ها به صورت تکی در ساختارها دیده شوند، در وضعیت «۱» قرار می‌دهیم و اگر به صورت چندتایی اتم‌ها در ساختار مولکول‌ها مشاهده گردند، در وضعیت «۲» قرار می‌دهیم. همان‌طور که در شکل شماره ۲ مشخص است، همه اتم‌های نامبرده، به جز P، در وضعیت «۲» قرار داده شده است؛ همچنین توصیفگرها مبتنی بر SMILES با رنگ سیز و توصیفگرها مبتنی بر گراف مولکولی با رنگ صورتی مشخص گردیده است و توصیفگرها بیک کنار آن‌ها تیک خورده است، در مدل‌سازی وارد شده‌اند.

به عنوان یک قانون کلی در نرم‌افزار کورال، به منظور انتخاب توصیفگرها بهینه، با توجه به اتم‌های تشکیل‌دهنده مولکول و حضور باندهای دوگانه، سه‌گانه و باندهای فضایی می‌توان تعدادی از توصیفگرها مبتنی بر SMILES را انتخاب کرد؛ مثلاً اگر مولکولی اتم هالوژن داشته باشد، «HALO» انتخاب می‌گردد؛ در غیر این صورت، این توصیفگر برای مدل‌سازی در نظر گرفته نمی‌شود. برای حضور حلقه‌های چندعضوی و سایر توصیفگرها مبتنی بر SMILES به همین صورت انتخاب می‌گردد. در صورتی که توصیفگرها مبتنی بر SMILES مدلی با معیارهای پیشگویی مناسب ارائه ندهد، از توصیفگرها گراف مولکولی هم کمک گرفته می‌شود. از آنجاکه توصیفگرها گراف اوریتال‌های اتمی به خوبی قابل تفسیر نیستند، به ندرت در مدل‌سازی استفاده می‌گردند. برای هر مجموعه تصادفی از مجموعه داده‌ها، چندین مدل مختلف با دسته‌های مختلف توصیفگرها ایجاد می‌شود و پس از تجزیه و تحلیل نتایج آماری مدل‌سازی با این توصیفگرها، بهترین مجموعه توصیفگرها انتخاب می‌گردد. در این تحقیق از توصیفگر



شکل شماره ۲. نمایش محیط نرم افزار کورال ۲۰۲۰ برای مدل سازی QSAR

انتخاب شده نشان می دهد:

$$\text{DCW}(T, N) = \sum \text{CW}(\text{SSS}_k) + \text{CW}(\text{BOND}) + \text{CW}(\text{NOSP}) + \text{CW}(\text{HALO}) + \text{CW}(\text{HARD}) + \text{CW}(\text{C5}) + \text{CW}(\text{C6}) + \sum \text{CW}(\text{pt2}_k) + \sum \text{CW}(\text{pt3}_k) + \sum \text{CW}(\text{S2}_k) + \sum \text{CW}(\text{nn}_k) + \text{CW}(\text{APP}) \quad (2)$$

توصیفگرهای مبتنی بر SMILES است که نشان دهنده حضور چندتایی از جفت اتم‌های Cl، Br، O، N و S است. CW(X) وزن همبستگی یک توصیفگر خاص را نشان می‌دهد. مؤلفه T ضریب آستانه است و از آن برای تشخیص توصیفگرهای مختلف مولکولی به دست آمده از SMILES به دو دستهٔ فعال و نادر استفاده می‌شود و N تعداد دوره‌های بهینه‌سازی مونت کارلو را نشان می‌دهد (۱۸). توضیحات کاملی از توصیفگرهای همراه با رسم شکل در فایل راهنمای نرم افزار کورال وجود دارد (<http://www.insilico.eu/coral>) (۱۹).

pKi	میان	همبستگی	ضریب
(۱۸) DCW(T^*, N^*) یکتابع ریاضی از وزن‌های همبستگی و با تابع هدف شاخص ایدئال همبستگی برای یافتن وزن‌های همبستگی توصیفگرهای SMILES است (۱۹).			
وزن‌هایی که بیشترین ضریب همبستگی را دارند، با روش مونت کارلو به دست می‌آیند. وزن همبستگی از نظر داده‌های			

معادله زیر توصیفگرهای بهینه مولکولی را برای مدل

ترکیبات BCR-ABL تیروزین کیناز علیه سلطان pKi

در رابطه شماره ۲، نشان دهنده حضور قطعات سه عضوی در نمایش SMILES است؛ به عنوان مثال، برای SSSK مولکول بنزن با اسمایلز (c1ccccc1)، توصیفگرهای SSSK شامل «ccc»، «c1c» و «ccc»... است. BOND نشان دهنده حضور داشتن یا نداشتن باندهای مختلف مانند پیوند دو گانه (=)، سه گانه (#) و استریوویشمی (@، @) است. NOSP، نشان دهنده حضور داشتن یا نداشتن اتم‌های نیتروژن، اکسیژن، HALO گوگرد و فسفر در ساختار SMILES ترکیبات است. نشان دهنده حضور داشتن یا نداشتن هالوژن در ترکیبات است. HARD مربوط به NOSP، BOND و HALO در SMILES هاست. در اینجا C5 و C6 نشان دهنده وجود حلقه‌های پنج تایی و شش تایی است. pt3k نشان دهنده تعداد مسیرهای طول ۲ و ۳ است که از رأس k شروع می‌شود و S2K نشان دهنده لایه‌های ظرفیت درجه ۲ است که از رأس K شروع می‌گردند. در معادله بالا، توصیفگر APP از دسته

بالا ذکر شد، برای معادله شماره ۳، با استفاده از روش بهینه‌سازی مونت کارلو محاسبه می‌شود. برای ساخت مدل QSAR در نرم‌افزار CORAL، سه نوع تابع هدف یعنی ۱. طرح کلاسیک، ۲. تعادل همبستگی و ۳. شاخص ایدئال همبستگی (IIC) طراحی شده است. شاخص ایدئال همبستگی به عنوان یک معیار جدید برای قضاوت درباره پتانسیل پیش‌بینی مدل‌های توسعه‌یافته QSAR به کار می‌رود.

در این مطالعه از دو تابع هدف برای بهینه‌سازی مونت کارلو استفاده شده است: تعادل همبستگی بدون IIC و تعادل همبستگی با (TF2). وزن‌های همبستگی (TF1) هر توصیفگر با استفاده از روش مونت کارلو، به منظور بدست آوردن حداکثر مقدار تابع هدف (TF) بهینه می‌گردند:

$$TF_1 = R_{TRN} + R_{iTRN} - |R_{TRN} - R_{iTRN}| \times Const \quad (4)$$

$$TF_2 = TF_1 + IIC_{CAL} \times Const \quad (5)$$

Const نیز ثابت تجربی است. به منظور محاسبه IIC برای مجموعه کالیبراسیون، از معادله ریاضی زیر استفاده می‌شود:

$$IIC = R_{CAL} \times \frac{\min(-MAE_{CAL}, +MAE_{CAL})}{\max(-MAE_{CAL}, +MAE_{CAL})} \quad (6)$$

کالیبراسیون است. MAE میانگین خطای مطلق است که با روابط زیر محاسبه می‌گردد:

$$-MAE_{CLB} = -\frac{1}{N} \sum_{y=1}^N |\Delta_k| \quad \Delta_k < 0, \quad -N \text{ is the number of } \Delta_k < 0 \quad (7)$$

$$+MAE_{CLB} = +\frac{1}{N} \sum_{y=1}^N |\Delta_k| \quad \Delta_k \geq 0, \quad +N \text{ is the number of } \Delta_k \geq 0 \quad (8)$$

$$\Delta_k = Obs_k - Calc_k \quad (9)$$

توسعه‌یافته QSAR توصیه می‌گردد.

تجزیه و تحلیل دامنه کاربرد به ما اجازه می‌دهد تا بررسی کنیم که آیا مدل QSAR ساخته شده می‌تواند برای هر مجموعه‌ای از مولکول‌ها اعمال شود یا خیر. پیش‌بینی یک نقطه پایانی مدل شده با استفاده از QSAR تنها زمانی مناسب است که مولکول پیش‌بینی شده در محدوده دامنه کاربرد مدل توسعه‌یافته QSAR قرار گیرد؛ بنابراین، دامنه کاربرد را می‌توان به عنوان اطلاعات فضای فیزیکو‌شیمیایی، بیولوژیکی

عددی، آمار بهتری را برای مجموعه‌های کالیبراسیون ارائه می‌دهند و از مجموعه آموزش و آموزش منفعل محاسبه می‌شوند. در نرم‌افزار CORAL معادله نهایی مدل به صورت زیر است:

$$pK_i = C_0 + C_1 \times DCW(T, N) \quad (3)$$

مؤلفه‌های C0 و C1 اعداد ثابت‌اند و برای هر مدل، پس از انجام بهینه‌سازی ضرایب و ایجاد رابطه خطی میان متغیر DCW وابسته و DCW مربوط به مولکول‌ها بدست می‌آید. مجموع ضرایب همبستگی همه توصیفگرهای مولکولی مدل برای هر ترکیب است. درواقع، به کمک معادله بالا می‌توان با داشتن DCW هر ساختار، فعالیت (pKi) آن را پیش‌گویی کرد.

بهینه‌سازی وزن‌ها به روش مونت کارلو:
مقادیر عددی اوزان همبستگی توصیفگر بهینه که در

$$R_{TRN} \text{ و } R_{iTRN} \quad (4)$$

مشاهده شده و محاسبه شده توصیفگر بهینه از فعالیت یا خاصیت برای مجموعه آموزش و آموزش منفعل است.

$$RCAL \text{ ضریب همبستگی میان مقادیر} \quad (5)$$

در این معادله، RCAL ضریب همبستگی میان مقادیر آزمایشی و پیش‌بینی شده نقطه انتها میان مجموعه

متغیر K از ۱ تا N تغییر می‌کند و Obs_k و Calc_k مقادیر آزمایشی و محاسباتی نقطه پایانی (pIC50) است. **دامنه کاربرد مدل:**

مؤلفه‌ها یا توصیفگرهای استفاده شده در توسعه مدل‌های QSAR باید تجزیه و تحلیل شوند. تفسیر مکانیکی مدل‌های QSAR به درک تأثیر توصیفگرهای در پیش‌بینی فعالیت یا نقطه پایانی کمک می‌کند. بر اساس اصل سوم OECD، دامنه کاربرد (AD) برای اعتبارسنجی مدل‌های

اگر ترکیبی خارج از محدوده دامنه کاربرد قرار گیرد، به عنوان یک داده پرت کدگذاری می‌گردد. در مدل ساخته شده توسط CORAL از نقص آماری برای تعریف دامنه کاربرد استفاده می‌شود. «نقص آماری» DefectAk بر اساس معادله ریاضی زیر محاسبه می‌گردد:

$$\text{Defect}_{A_K} = \frac{|P_T(A_K) - P_{\text{CAL}}(A_K)|}{N_T(A_K) + N_{\text{CAL}}(A_K)}$$

$$\text{Defect}_{A_K} = 1$$

$$\begin{aligned} &\text{If } A_K > 0 \\ &\text{If } A_K = 0 \end{aligned}$$

اعتبارسنجی مدل:

در این تحقیق برای ارزیابی قابلیت اطمینان و پیشگویی مدل‌های ایجاد شده، از سه روش استفاده شده است:

۱. اعتبارسنجی داخلی یا متقابل توسط معیارهای IIC، R2، Q2، CCC و F با استفاده از داده‌های مجموعه آموزشی؛
۲. اعتبارسنجی خارجی که توسط معیارهای Q_{F1}^2 , Q_{F2}^2 , Q_{F3}^2 , R_m^2 , Δr_m^2 , MAE و Cr_p^2 داده‌های دسته آزمون صورت می‌گیرد و ۳. تصادفی‌سازی داده‌ها یا درهم آیینه‌گری \bar{Y} که با استفاده از داده‌های دسته آزمون انجام می‌شود. روابط ریاضی این شاخص‌های آماری در مقالات پیشین ارائه شده است (۲۰-۲۲) و همچنین در جدول شماره ۱ آمده است.

یا ساختاری بیان کرد که بر اساس آن، مجموعه آموزشی مدل ساخته می‌شود و مدل برای پیش‌بینی مولکول‌های جدید در حوزه‌های خاص اعمال می‌گردد.

توزیع توصیفگرهای SMILES در مجموعه‌های آموزش و کالیبراسیون برای تعیین دامنه کاربرد در مدل‌های ساخته شده QSAR توسط نرم‌افزار CORAL استفاده می‌شود.

(۱۰)

مؤلفه‌های $P_T(A_K)$ و $P_{\text{CAL}}(A_K)$ به ترتیب احتمال یک توصیفگر در دسته آموزش و کالیبراسیون هستند. نقص آماری را می‌توان به عنوان مجموع نقص‌های آماری همه ویژگی‌های موجود در نماد SMILES محاسبه کرد.

$$\text{Defect}_{\text{compound}} = \sum_{k=1}^{N_A} \text{Defect}_{A_K} \quad (۱۱)$$

تعداد توصیفگرهای فعال برای یک ترکیب است. در این محاسبات آماری، یک ترکیب در محدوده دامنه کاربرد قرار می‌گیرد، اگر نامساوی زیر برقرار گردد:

$$\text{Defect}_{\text{compound}} < 2 \times \overline{\text{Defect}}_T \quad (۱۲)$$

که $\overline{\text{Defect}}_T$ میانگین نقص آماری برای دسته آموزش است.

جدول شماره ۱. معادله ریاضی معیارهای مختلف ارزیابی قابلیت اطمینان و پیشگویی مدل‌های QSAR

معیار پتانسیل پیشگویی	نوع اعتبارسنجی	
$R^2 = 1 - \frac{\sum(Y_{\text{obs}} - Y_{\text{prd}})^2}{\sum(Y_{\text{obs}} - \bar{Y})^2}$	داخلی	(۲۳)
$Q^2 = 1 - \frac{\sum(Y_{\text{prd}} - Y_{\text{obs}})^2}{\sum(Y_{\text{obs}} - \bar{Y}_{\text{train}})^2}$		(۲۴)
$Q_{F1}^2 = 1 - \frac{\sum(Y_{\text{per(test)}} - Y_{\text{obs(test)}})^2}{\sum(Y_{\text{obs(test)}} - \bar{Y}_{\text{train}})^2}$		(۲۵)
$Q_{F2}^2 = 1 - \frac{\sum(Y_{\text{prd(test)}} - Y_{\text{obs(test)}})^2}{\sum(Y_{\text{obs(test)}} - \bar{Y}_{\text{ext}})^2}$		(۲۶)
$Q_{F3}^2 = 1 - \frac{\sum(Y_{\text{prd(test)}} - Y_{\text{obs(test)}})^2 / n_{\text{ext}}}{\sum(Y_{\text{obs(test)}} - \bar{Y}_{\text{train}})^2 / n_{\text{train}}}$	خارجی	(۲۳)
$R_m^2 = R^2 \times \left(1 - \sqrt{R^2 - R_0^2}\right)$		
$CCC = \frac{2 \sum(X - \bar{X})(Y - \bar{Y})}{\sum(X - \bar{X})^2 + \sum(Y - \bar{Y})^2 + n((\bar{X} - \bar{Y})^2)}$		
$MAE = \frac{1}{n} \times \sum Y_{\text{obs}} - Y_{\text{prd}} $		

$C_{R_p^2} = R\sqrt{(R^2 - R_r^2)}$	آزمون تصادفی‌سازی	(۳۷)
-------------------------------------	-------------------	------

مدل‌های QSAR برای تمایل اتصال مشتقات ایماتینیب در برابر BCR-ABL تیروزین کیناز بر اساس تابع هدف شاخص ایدئال همبستگی (IIC) با استفاده از تابع هدف TF2 و روش مونت کارلو برای سه توزیع تصادفی داده‌ها به دسته‌های آموزش، آموزش منفعل، کالیبراسیون و آزمون محاسبه شده عبارت‌اند از:

توانایی پیشگویی مدل QSAR در صورتی قابل قبول است که مقدار عددی Q2 و R2 بیشتر از ۰/۷ باشد (۲۸) و از نظر اعتبارسنجی خارجی، اگر CCC بزرگ‌تر از ۰/۸۵ باشد، مدل قابلیت پیش‌بینی خوبی دارد (۲۹)؛ همچنین اگر مقادیر $\Delta r_m^2 < 0.5$ باشد، مدل را می‌توان به عنوان یک مدل قابل اعتماد بیان کرد.

یافته‌های پژوهش

شکاف ۱:

$$pk_i = 4.539 (\pm 0.011) + 0.096 (\pm 0.001) \times DCW(1, 7) \quad (13)$$

شکاف ۲:

$$pk_i = 5.086 (\pm 0.012) + 0.091 (\pm 0.001) \times DCW(1, 7) \quad (14)$$

شکاف ۳:

$$pk_i = 4.539 (\pm 0.012) + 0.0740 (\pm 0.001) \times DCW(1, 7) \quad (15)$$

مختلف موافق دارند. مقادیر pk_i تجربی و پیش‌بینی شده و همچنین دامنه کاربرد ترکیبات انتخاب شده در جداول S1 آورده شده است. پیش‌بینی‌های یک مدل زمانی واقعی تر هستند که مولکول‌های پیش‌بینی شده در حوزه دامنه کاربرد باشند. حدود ۸۲ درصد، ۸۰ درصد و ۸۰ درصد از ترکیبات در دامنه کاربرد مدل‌های ۱۳ تا ۱۵ به ترتیب قرار دارند و این موضوع نشان می‌دهد، هر سه مدل توanایی پیش‌بینی بیش از ۸۰ درصد از داده‌های جدید را دارند. در ادامه، آزمون Y برای مجموعه اعتبارسنجی نیز برای تأیید قدرت پیش‌بینی مدل‌های QSAR تولید شده به کار گرفته شد. برای آزمون تصادفی‌سازی Y اگر $cR2p$ بیشتر از ۰/۵ باشد، مدل‌های ایجاد شده ارتباط شناسی ندارند (۳۲). مقادیر $cR2p$ برای مدل‌های ایجاد شده بیشتر از ۰/۷۲ است.

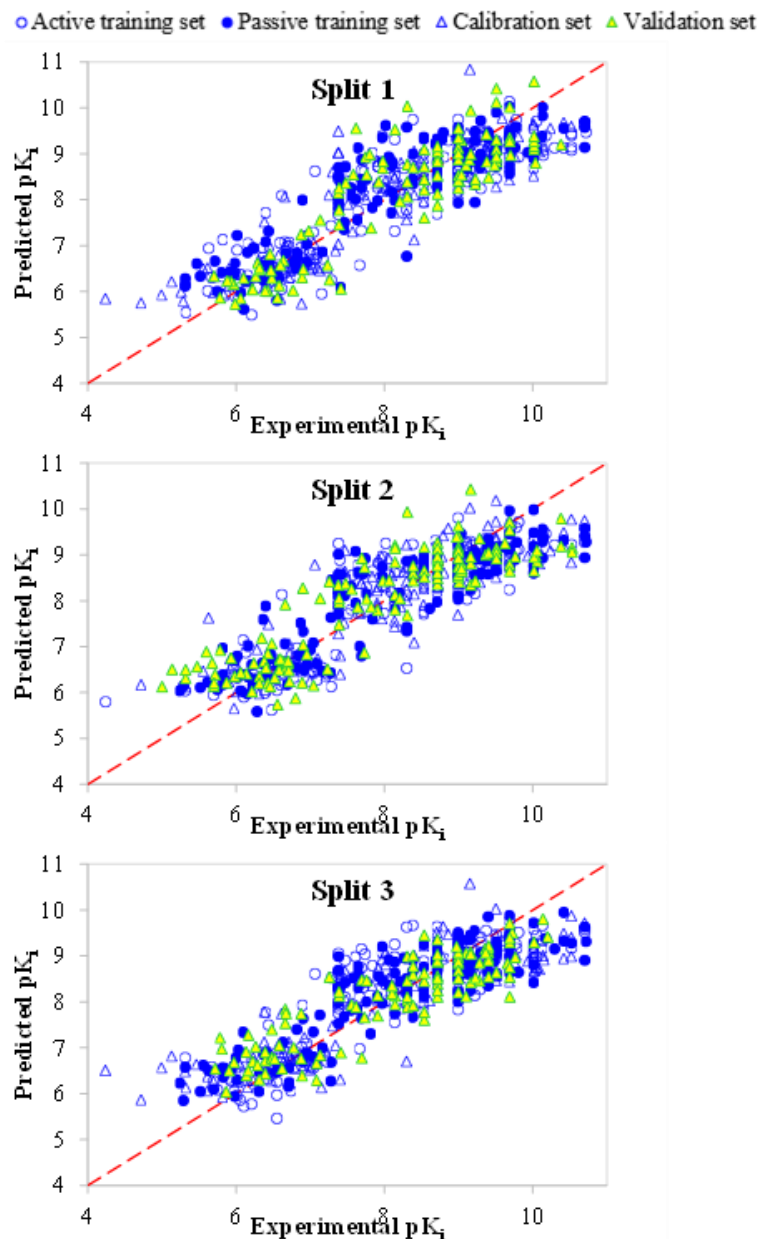
نتایج این مدل‌های QSAR ایجاد شده در جدول شماره ۲ خلاصه شده است. همه مدل‌های طراحی شده QSAR از نظر آماری قابل اعتماد بودند و مقادیر عددی کمیت‌های آماری در محدوده‌های قابل قبولی که در منابع گزارش شده است، قرار داشتند (۳۱، ۳۰). اضافه کردن IIC به مدل توانایی آن را در پیش‌بینی pk_i افزایش می‌دهد. نتیجه IIC به مقدار عددی ضریب همبستگی (R) و میانگین خطای مطلق (MAE) بستگی دارد؛ بنابراین، IIC مؤلفه مهم‌تری نسبت به R و MAE است؛ ازین‌رو، می‌توان بیان کرد که مدل‌های QSAR ساخته شده با IIC از نظر آماری معنادار و قوی تر هستند. نتایج نشان داد که هر سه مدل QSAR برای مجموعه‌های آموزش، کالیبراسیون، آزمون و اعتبارسنجی از نظر کیفیت آماری قابلیت پیش‌بینی قوی دارند و با الزامات مؤلفه‌های اعتبارسنجی

جدول شماره ۲. مشخصات آماری برای مدل‌های QSAR ایجاد شده برای شکافت‌های مختلف ۱ تا ۳

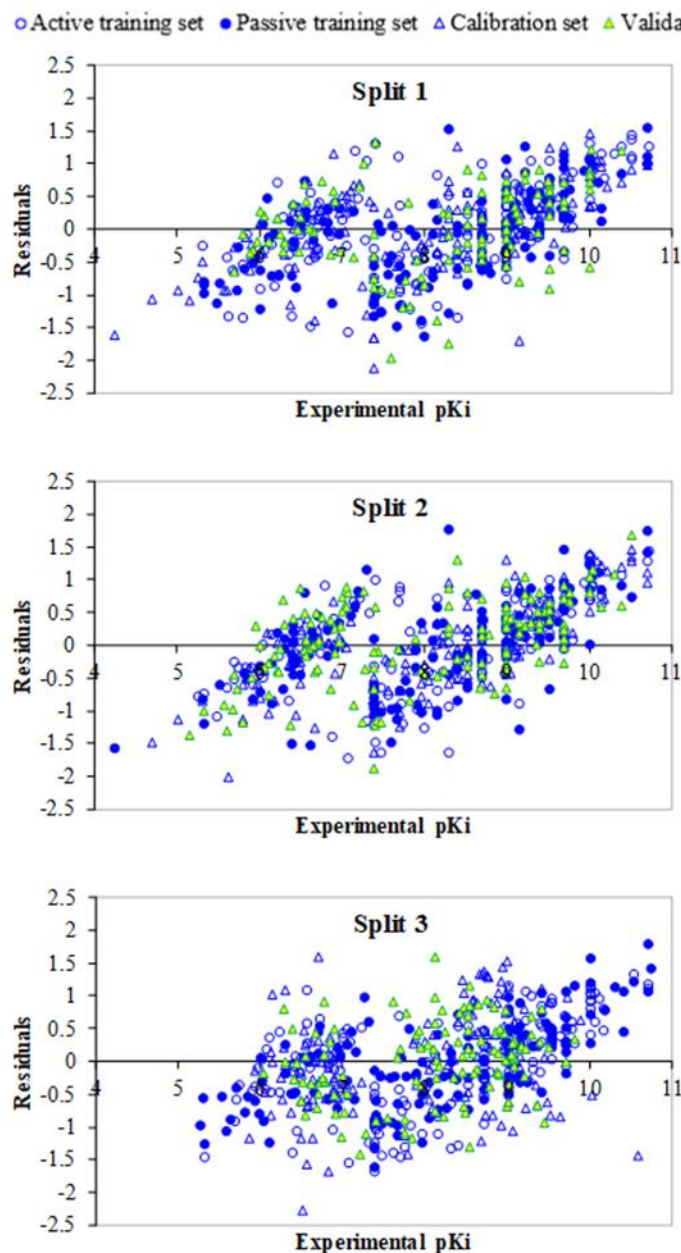
F	MAE	S	Δr_m^2	\bar{r}_m^2	CR_p^2	R_m^2	Q_{F3}^2	Q_{F2}^2	Q_{F1}^2	Q ²	IIC	CCC	R ²	n	دسته	شکافت
۴۹۸	۰/۵۲۴۰	۰/۶۶۰			۰/۷۵۸۴					۰/۷۵۵۷	۰/۸۲۹۵	۰/۸۶۴۶	۰/۷۶۱۵	۱۵۸	آموزش	۱
۴۷۵	۰/۵۵۴۰	۰/۶۸۵			۰/۷۵۶۶					۰/۷۵۵۲	۰/۷۹۹۰	۰/۸۵۸۷	۰/۷۶۱۴	۱۵۱	منفعل آموزش	
۵۴۰	۰/۵۲۱۰	۰/۶۶۵	۰/۶۷۷۳	۰/۶۶۳۶	۰/۷۹۲۰	۰/۶۶۳۶	۰/۷۶۶۸	۰/۷۹۳۹	۰/۷۹۵۰	۰/۷۸۹۶	۰/۸۹۲۴	۰/۸۷۹۵	۰/۷۹۶۴	۱۴۰	کالیبراسیون	
۳۴۹	۰/۴۵۸۷	۰/۶۳۶	۰/۰۰۵۱	۰/۶۸۳۵		۰/۶۷۷۲				۰/۷۶۲۰	۰/۸۱۱۳	۰/۸۷۷۵	۰/۷۷۰۴	۱۰۶	آزمون	
۳۸۰	۰/۵۴۶۰	۰/۶۸۸			۰/۸۳۲۸					۰/۷۳۵۰	۰/۸۱۱۶	۰/۸۵۲۱	۰/۷۴۲۲	۱۳۴	آموزش	
۴۰۳	۰/۵۵۶۰	۰/۶۹۱			۰/۷۶۶۱					۰/۷۳۴۷	۰/۷۸۳۷	۰/۸۴۹۸	۰/۷۴۲۳	۱۴۲	آموزش منفعل	۲
۵۴۹	۰/۵۴۲۰	۰/۶۸۲	۰/۱۴۶۲	۰/۷۲۳۰	۰/۷۷۰۳	۰/۵۶۳۱	۰/۷۴۷۴	۰/۷۶۸۱	۰/۷۹۹۹	۰/۷۸۹۰	۰/۸۹۰۶	۰/۸۵۰۵	۰/۷۹۴۵	۱۴۴	کالیبراسیون	
۴۸۷	۰/۵۳۵۳	۰/۶۴۹	۰/۱۹۰۶	۰/۶۷۸۷		۰/۶۷۸۷				۰/۷۷۹۳	۰/۸۳۷۹	۰/۸۷۴۵	۰/۷۸۵۵	۱۳۵	آزمون	
۴۰۱	۰/۵۶۳۰	۰/۷۰۳			۰/۷۲۱۵					۰/۷۷۹۳	۰/۸۴۰۸	۰/۸۷۴۵	۰/۷۲۵۳	۱۵۴	آموزش	
۵۰۴	۰/۵۳۴۰	۰/۶۵۴			۰/۷۷۳۱					۰/۷۹۸۰	۰/۸۵۷۳	۰/۸۶۴۱	۰/۷۷۶۶	۱۴۷	آموزش منفعل	
۵۲۵	۰/۵۹۲۰	۰/۷۳۸	۰/۲۳۹۳	۰/۵۵۹۰	۰/۷۸۵۸	۰/۵۵۹۰	۰/۷۰۱۲	۰/۷۹۷۱	۰/۷۷۰۸	۰/۷۴۰۳	۰/۸۶۹۹	۰/۸۵۰۵	۰/۷۸۷۱	۱۴۴	کالیبراسیون	۳
۳۹۴	۰/۴۸۵۹	۰/۶۰۱	۰/۲۲۷۶	۰/۵۸۳۹		۰/۵۸۳۵				۰/۷۷۷۷	۰/۷۸۱۰	۰/۸۵۷۵	۰/۷۸۴۸	۱۱۰	آزمون	

TF2، همبستگی خوبی دارد. این نتایج تأیید می‌کنند که همه مدل‌های QSAR ساخته شده قابل اعتمادند و به خوبی برآش شده‌اند.

شکل شماره ۳ نمایش گرافیکی مقادیر داده‌های تجربی pKi در برابر pKi محاسبه شده سه مدل را نشان می‌دهند. مشاهده می‌شود که pKi محاسبه شده برای مجموعه داده‌ها با مقادیر تجربی pKi آن از مدل‌های QSAR محاسبه شده با



شکل شماره ۳. نمایش گرافیکی همبستگی میان pKi تجربی و پیش‌بینی شده توسط مدل‌های ۱ تا ۳، مربوط به دسته‌های آموزش فعال، آموزش منفعل، کالیبراسیون و آزمون



شکل شماره ۴. نمایش گرافیکی باقیماندها بر حسب pKi تجربی برای مدل‌های ۱ تا ۳، مربوط به دسته‌های آموزش فعال، آموزش منفعل، کالیبراسیون و آزمون

تفسیر مکانیکی مدل: اصل پنجم سازمان همکاری و توسعه اقتصادی (OECD) مربوط به «تفسیر مکانیکی» مدل ایجاد شده است، اگر تفسیر مدل امکان پذیر باشد که نشان می‌دهد آیا از چنین مدل‌هایی می‌توان برای به دست آوردن ویژگی‌های مولکولی مسئول افزایش و کاهش یک نقطه پایانی استفاده کرد. هدف این اصل ارزیابی تعامل مکانیکی میان توصیفگرهای استفاده شده در یک مدل و نقطه پایانی پیشگویی شده است و این تعاملات باید در صورت امکان،

شکل شماره ۴ نمایش گرافیکی باقیماندها، اختلاف مقدار مشاهداتی و پیشگویی شده توسط مدل را برای مدل‌های ۱ تا ۳ نشان می‌دهد. همان‌طور که در هر سه شکل مشاهده می‌شود، باقیمانده‌ها در اطراف محور x در یک نوار افقی متتمرکز در اطراف صفر و واریانس ثابت توزیع شده‌اند. این شکل نشان می‌دهد که در مدل‌سازی خطای سیستماتیک وجود ندارد و خطای مدل توزیع نسبتاً یکنواختی برای همه مقادیر pKi دارد.

افزاینده و کاهنده تمایل اتصال آمده است. باید توجه داشت که فراوانی این ویژگی‌های مولکولی در مجموعه آموزش و همچنین مجموعه کالیبراسیون باید موردنظر قرار گیرد. ظاهرآ ویژگی ساختاری با فرکانس‌های کوچک در آموزش و مجموعه کالیبراسیون را نمی‌توان به عنوان شاخص قابل اعتماد برای پیش‌بینی تمایل اتصال ترکیبات در برابر BCR-ABL تیروزین کیناز در نظر گرفت.

توصیفگرهای NNC-C...312، NNC-C...330، VS2-C...8...، VS2-C...9...، VS2-C...4...، PT2-N...4...، C6...AH.3... و PT3-N...4...، C6...AH.4... از جمله توصیفگرهای افزاینده هستند؛ همچنین مهم‌ترین توصیفگر کاهنده مشترک در هر سه شکافت C6...AH.4... و O...C...C... است که تفسیر آن‌ها در جدول شماره ۳ در ستون آخر آمده است.

مستند گردند. هنگامی که تفسیر مکانیکی یک مدل QSAR ساخته شده با نظریه‌ها و سازوکارهای موجود سازگار باشد، به طراحی و توسعه داروها یا مولکول‌های جدید کمک می‌کند. در روش بهینه‌سازی مونت کارلو در نرم‌افزار کورال، با داشتن اطلاعات مربوط به چندین اجرا از بهینه‌سازی مونت کارلو می‌توان سه دسته از توصیفگرهای مولکولی استخراج کرد (۳۴، ۳۳): ۱. توصیفگرهای افزاینده فعالیت؛ توصیفگرهایی که ضریب همبستگی آن در همه اجراهای مثبت است؛ ۲. توصیفگرهای کاهنده فعالیت؛ توصیفگرهایی که ضریب همبستگی آن در همه اجراهای منفی است؛ ۳. توصیفگرهایی که نقش مشخصی ندارند؛ توصیفگرهایی که در بعضی از اجراهای مونت کارلو دارای ضریب مثبت و در برخی از اجراهای دارای ضریب منفی‌اند (۳۵).

در جدول شماره ۳ نمونه‌هایی از توصیفگرهای

جدول شماره ۳. توصیفگرهای مولکولی افزاینده pKi و کاهنده pKi مشترک در هر سه مدل ارائه شده

توضیحات	توصیفگر	شماره
توصیفگرهای افزاینده		
کد نزدیک‌ترین همسایگی برای کربن برابر با ۳۳۰	NNC-C...330.	۱
کد نزدیک‌ترین همسایگی برای کربن برابر با ۳۱۲	NNC-C...312.	۲
پوستهٔ ظرفیت درجه دوم برای اتم کربن برابر با ۷	VS2-C...7...	۳
تعداد مسیرهای به طول ۲ که برابر با ۴ است و از رأس اتم نیتروژن شروع شده است.	PT2-N...4...	۴
پوستهٔ ظرفیت درجه دوم برای اتم کربن برابر با ۹	VS2-C...9...	۵
حضور دو کربن آروماتیک جدا در حلقهٔ شماره ۲	c...2...c...	۶
پوستهٔ ظرفیت درجه دوم برای اتم کربن برابر با ۸	VS2-C...8...	۷
تعداد مسیرهای به طول ۳ که برابر با ۶ است و از رأس اتم کربن شروع شده است.	PT3-C...6...	۸
حضور دو کربن آروماتیک متوالی در حلقهٔ شماره ۲	c...c...2...	۹
تعداد مسیرهای به طول ۳ که برابر با ۴ است و از رأس اتم نیتروژن شروع شده است.	PT3-N...4...	۱۰
وجود سه حلقهٔ شش عضوی آروماتیک دارای هترواتم	C6...AH.3...	۱۱
توصیفگرهای کاهنده		
وجود ۴ حلقهٔ شش عضوی آروماتیک دارای هترواتم	C6...AH.4...	۱
حضور کربن و نیتروژن آروماتیک در حلقهٔ دوم	c...n...2...	۲
حضور اکسیژن آلیفاتیک و به دنبال آن، دو کربن آلیفاتیک متوالی	O...C...C...	۳

pKi بین ۴/۲۴ و ۱۰/۷۳ داشتند، مشخص شد مشتقانی که ۳ شش ضلعی آروماتیک و هترواتم دارند، معمولاً دارای pki بالایی (۸/۸ تا ۱۰) هستند. تعدادی از این ساختارها در جدول شماره ۴ گزارش شده است.

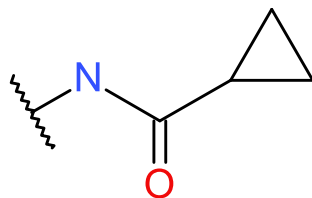
به منظور بررسی تأثیر توصیفگرهای افزاینده و کاهنده بر روی فعالیت ترکیبات، در ادامه تعدادی از این توصیفگرهای با مثال شرح داده شده است. یکی از توصیفگرهای افزاینده، حضور ۳ C6...AH.3 یعنی حضور ۳ عدد شش ضلعی آروماتیک است که هترواتم دارد و با بررسی ۵۵۵ داده که

جدول شماره ۴. نمونه هایی از ترکیبات دارای سه حلقه شش تایی آروماتیک شامل هترواتم (C6...AH.3) از دسته توصیفگرهای افزاینده

pKi	ساختار	شماره	pKi	ساختار	شماره
۸/۷۹		۳۴۰	۸/۷۷		۲۸۵
۹		۲۸۸	۸/۹۸		۵۲۴
۹/۵۲		۱۸۲	۹/۴		۲۸
۹/۷		۳۰۶	۹/۶۶		۱۹۵
۱۰		۱۱۶	۹/۷۷		۱۱۴

آلیفایتیک و به دنبال آن دو کرین آلیفایتیک متواالی ...O...C...C) است. مثال‌هایی از اثر این توصیفگر در مولکول‌هایی که تنها اختلاف آن‌ها در این توصیفگر است، در جدول شماره ۵ آمده است. این توصیفگر کاوهنده در جدول شماره ۵، با علامت فلش روی مولکول‌ها مشخص شده است. ساختارهایی که این توصیفگر را دارند، با ساختارهای مشابه خودشان در جدول شماره ۵ مقایسه شده‌اند؛ به عنوان مثال، مشتقات شماره ۳۸۳ و شماره ۸ از نظر ساختاری مشابه هستند و تفاوت آن‌ها در حضور اکسیژن در حلقة سیکلوبنتان است. حضور اکسیژن که باعث به وجود آمدن توصیفگر ...O...C...C در ساختار ۳۸۳ شده است، موجب کاهش pKi از مقدار ۹/۳۰ به مقدار ۸/۷۸ گردیده است. در برآرۀ جفت ساختارهای مشابه دیگر مانند جفت ساختار ۲۸۶ و ۴۰۰، ۲۳۸ و ۲۷۷، ۲۵۶ و ۲۶، به همین ترتیب حضور این توصیفگر باعث کاهش چشمگیری در مقدار pKi شده است.

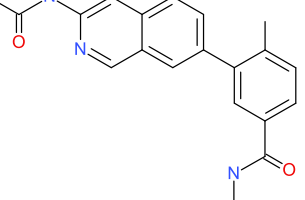
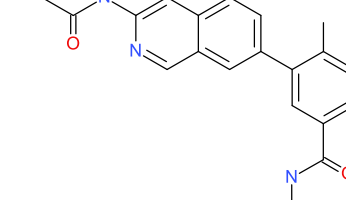
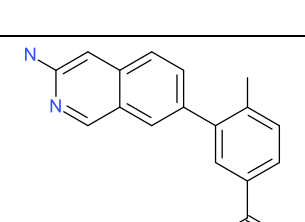
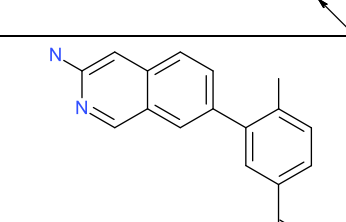
از مؤلفه‌های مهم دیگر توصیفگر NNC-C312 است. این توصیفگر به این معنی است که ۱۳ اتم در همسایگی اتم کربن وجود دارد که تنها ۱ عدد آن اتم کربن باشد. این توصیفگر افزاینده در بیشتر ترکیبات با pKi بالا، یعنی از pKi ۷ به بالا وجود دارد. قطعه مولکولی نمایش داده شده در شکل شماره ۵، نمونه واصحی از توصیفگر NNC-C312 است. جدول شماره ۴ تعدادی از ترکیبات با pKi بالا را نشان می‌دهد که این موضوع را تأیید می‌کند.

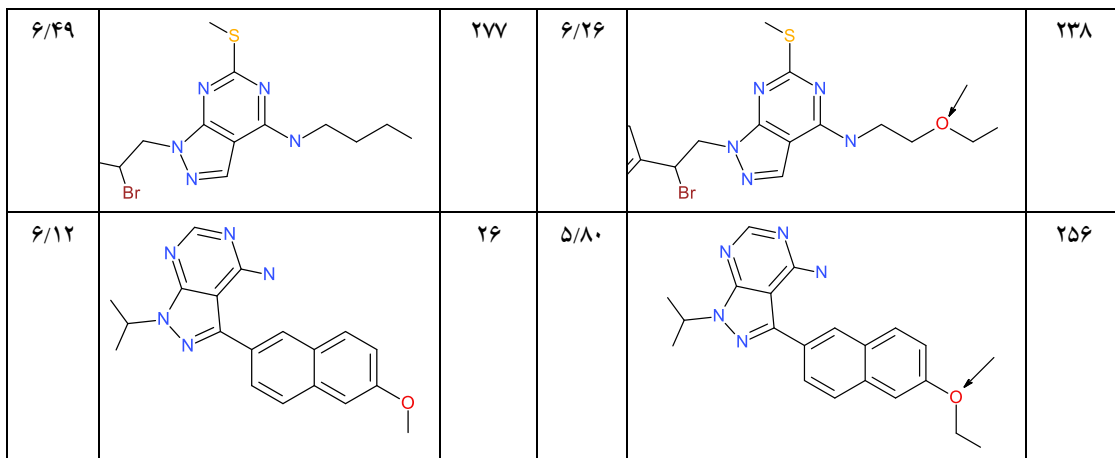


شکل شماره ۳. قطعه مولکولی با اثر افزایشی بر روی K_i ترکیبات

یکی از توصیفگرهای کاهنده حضور اکسیژن

جدول شماره ۵. مثال‌هایی از تأثیر کاهنده‌گی حضور اکسیژن آلیفاتیک و به دنبال آن، دو کربن آلیفاتیک متواالی (C...O...C...) بر روی مقدار

pKi	ساختار	شماره	pKi	ساختار	شماره
۹/۳۰		۸	۸/۷۸		۳۸۳
۸/۱۱		۴۰۰	۷/۳۸		۲۸۶



شماره	توضیحات	توصیفگر
توصیفگرهای افزاینده		
۱	کد نزدیک ترین همسایگی برای کربن برابر با ۳۳۰.	NNC-C...330.
۲	کد نزدیک ترین همسایگی برای کربن برابر با ۳۱۲.	NNC-C...312.
۳	پوسته ظرفیت درجه دوم برای اتم کربن برابر با ۷	VS2-C...7...
۴	تعداد مسیرهای به طول ۲ که برابر با ۴ است و از رأس اتم کربن شروع شده است.	PT2-N...4...
۵	پوسته ظرفیت درجه دوم برای اتم کربن برابر با ۹	VS2-C...9...
۶	حضور دو کربن آромاتیک جدا در حلقه شماره ۲	c...2...c...
۷	پوسته ظرفیت درجه دوم برای اتم کربن برابر با ۸	VS2-C...8...
۸	تعداد مسیرهای به طول ۳ که برابر با ۶ است و از رأس اتم کربن شروع شده است.	PT3-C...6...
۹	حضور دو کربن آромاتیک متوالی در حلقه شماره ۲	c...c...2...
۱۰	تعداد مسیرهای به طول ۳ که برابر با ۴ است و از رأس اتم کربن شروع شده است.	PT3-N...4...
۱۱	وجود سه حلقه شش عضوی آромاتیک دارای هترواتم	C6...AH.3...
توصیفگرهای کاهنده		
۱	وجود ۴ حلقه شش عضوی آромاتیک دارای هترواتم	C6...AH.4...
۲	حضور کربن و نیتروژن آромاتیک در حلقه دوم	c...n...2...
۳	حضور اکسیژن آلیفاتیک و به دنبال آن، دو کربن آلیفاتیک متوالی	O...C...C...

گزارش شده، وجود نداشتند و دارای pKi میانگین

پیش‌بینی شده بر اساس سه مدل بالاتر از ۸ بودند، از بانک داده‌های CHEMBL (<https://www.ebi.ac.uk/chembl>) استخراج و به عنوان نتایج مدل‌سازی گزارش شدند (جدول

طراحی مولکول‌های جدید:

بر اساس نتایج تفسیر مدل و به کمک ساختار کلی مشتقاتی از ایماتینیب در مجموعه داده‌ها که pKi بالایی داشتند، تعدادی از مشتقات ایماتینیب که در داده‌های

شماره ۶).

همه ترکیبات پیشتر توسط سایر محققان سنتز گردیده‌اند؛ اما مقادیر تعامل اتصال تیروزین کیناز (Ki) جدول شماره ۶. ساختار مشتقات ایماتینیب جدید، ID مربوطه و نتایج پیشگویی pKi (میانگین حاصل از سه مدل ارائه شده) برای آن‌ها که از بانک CHEMBL جستجو شده‌اند.

) تجربی برای آن‌ها گزارش نشده است. می‌توان با جستجوی ID مربوطه در سایت CHEMBL، اطلاعات کاملی از روش سنتز این ترکیبات به دست آورد.

جدول شماره ۶. ساختار مشتقات ایماتینیب جدید، ID مربوطه و نتایج پیشگویی pKi (میانگین حاصل از سه مدل ارائه شده) برای آن‌ها که از بانک داده‌های CHEMBL جستجو شده‌اند.

CHEMBL ساختار و ID مربوط به	pKi (میانگین)	CHEMBL ساختار و ID مربوط به	pKi (میانگین)
CHEMBL3689721 	9/12	CHEMBL3689568 	9/25
CHEMBL3689564 	8/63	CHEMBL3689603 	9/46
CHEMBL3689722 	9/01	CHEMBL3689605 	9/14
CHEMBL3685170 	8/79	CHEMBL3689727 	8/84
CHEMBL3689577 	8/83	CHEMBL3689578 	8/83

<chem>CN(C1=CC=C2=C1C(=O)NC2C3=CC=C4=C3C(=O)OC[C@H](CO)C4</chem> CHEMBL3685189	۸/۳۷	<chem>CN(C1=CC=C2=C1C(=O)NC2C3=CC=C4=C3C(=O)OC[C@H](CO)C4</chem> CHEMBL3685158	۸/۳۵
<chem>CN(C1=CC(F)=CC2=C1C(=O)NC2C3=CC(F)=CC4=C3C(F)=CN=C4</chem> CHEMBL3689718	۸/۹۸	<chem>CN(C1=CC=C2=C1C(=O)NC2C3=CC=C4=C3C(=O)OC[C@H]1CCCC1</chem> CHEMBL3689569	۸/۱۱
<chem>CN1C2=C3=C1C(=O)NC2C4=C3C(F)=CN=C4</chem> CHEMBL5195701	۹/۰۶	<chem>CN(C1=CC=C2=C1C(=O)NC2C3=CC=C4=C3C(=O)OC[C@H]1CCCC1</chem> CHEMBL3689570	۸/۱۶
<chem>CN(C1=CC=C2=C1C(=O)NC2C3=CC=C4=C3C(=O)OC[C@H]1CCCC1</chem> CHEMBL3685193	۸/۵۰	<chem>CN1C2=C3=C1C(=O)NC2C4=C3C(F)=CN=C4C5=C1C6=C(C=C5)C(=O)N7C8=C(C=C7)C9=C(C=C8)C(=O)N(C=C9)C</chem> CHEMBL4751301	۸/۹۷

مقایسه گردیده است (۱۰). مقایسه نشان می‌دهد که ویژگی‌های آماری مدل‌های CORAL طراحی شده از نظر کیفی، قابل مقایسه یا حتی بهتر از مدل‌های پیشنهادشده در گزارش پیشین است. در مدل‌های QSAR پیشین از شبکه‌های عصبی (DNN) و مجموعه‌های ترکیبی توصیف‌گرهای D/3D/MD² بهمنظور پیش‌بینی تمایل اتصال ترکیبات استفاده شده است. آن‌ها نشان دادند که مدل‌های رگرسیون DNN برای مجموعه داده‌ها $R^2 \geq 0.71$ و $MAE \leq 0.85$ را دارد. در این تحقیق، $R^2 \geq 0.74$ و $MAE \leq 0.59$ برای مدل‌ها بدست آمد. علاوه بر این، مدل‌های QSAR ایجاد شده در این کار، با استفاده از معیارهای قوی مانند IIC، Q2F2، Q2F1، آزمون Y، آزمون cR2p و R2m ارزیابی شده‌اند. در اینجا، کل مجموعه داده به چهار مجموعه (آموزش، آموزش منفعل، مجموعه کالیبراسیون و آزمون) و سه شکاف تقسیم گردید.

بحث و نتیجه‌گیری

روش‌های محاسباتی یک روش قدرتمند برای طراحی/پیش‌بینی فعالیت داروها در مقابل بیماری‌های متفاوت، توجه بیشتری را به خود جلب کرده‌اند. در این مطالعه، مدل‌های QSAR برای پیش‌بینی تمایل اتصال BCR-555 ترکیب از مشتقات ایماتینیب به عنوان مهارکننده-ABL تیروزین کیناز در درمان بیماری سرطان لوسومی مزمن، با استفاده از روش مونت کارلو و براساس معیار شاخص ایدئال همبستگی (IIC) ساخته شده است. ساخت مدل‌های QSAR توسط نرم‌افزار CORAL و با استفاده از توصیفگر هیریدی بهینه که ترکیبی از SMILES و HFGs است، انجام گردیده است. در پیان، برخی از ویژگی‌های آماری مدل‌های CORAL به دست آمده برای توصیف pKi با برخی از مؤلفه‌های آماری مدل‌های دیگر که از قلی گزارش شده است،

مشارکت نویسنده‌گان

این مقاله برگرفته از رساله دکتری خانم شراره وردست باغ میشه میباشد که آقایان دکتر علی الماسی راد و دکتر شهرام لطفی اساتید راهنمای و سرکار خانم دکتر شهین احمدی استاد مشاور در تهیه و تدوین آن مشارکت داشتند.

در حالی که در گزارش پیشین، مجموعه داده به دو مجموعه (مجموعه آموزشی و آزمایشی) و یک شکاف تقسیم شد؛ درنتیجه، ما نشان داده‌ایم که پتانسیل پیش‌بینی مدل جهانی QSAR توسعه یافته می‌تواند با مدل‌های QSAR گزارش شده محلی مرتبط باشد.

در کار حاضر، روش بهینه‌سازی مونت‌کارلو برای ساخت سه مدل QSAR برای پیش‌بینی تمایل اتصال (pKi) 555 ترکیب از مشتقات ایماتینیب به عنوان مهارکننده BCR-ABL تیروزین کیناز در درمان بیماری سرطان لوسومی مزمن، با استفاده از TF2 با IIC استفاده گردید. مدل‌های ساخته شده با استفاده از شاخص‌های اعتبارسنجی داخلی و خارجی و آزمون تصادفی سازی Y ارزیابی شدند که همه مدل‌های ساخته شده قابل اطمینان، پیش‌بینی‌پذیر و قابل تکرار بودند. مدل‌های QSAR پیشنهادی ضریب همبستگی (R^2) رضایت‌بخش و در محدوده ۰/۸۷۵-۰/۸۵۷ برای دسته آزمون هستند. با استفاده از مدل‌های ساخته شده، توصیفگرهای افزاینده یا کاهنده تمایل اتصال (Ki) ترکیبات مطالعه شده، با بررسی وزن همبستگی و وزگی‌های مختلف مولکولی در چندین مرحله اجرای روش مونت‌کارلو به دست آمده است. با استفاده از نتایج مدل‌سازی، ترکیباتی جدید با فعالیت بیشتر علیه بیماری لوسومی می‌توانند مزمن پیشنهادشده است.

سپاس‌گزاری

از همه اشخاصی که در این پژوهش همکاری داشتند، تشکر و قدردانی می‌شود.

تعارض منافع

نویسنده‌گان اعلام می‌نمایند که هیچ‌گونه تعارض منافع وجود ندارد.

کد اخلاق

این مطالعه دارای تاییدیه اخلاق به شماره IR.IAU.PS.REC.1400.260 از کمیته اخلاق در پژوهش دانشگاه علوم پزشکی آزاد اسلامی تهران می‌باشد.

حمایت مالی

پژوهش حاضر از هیچ سازمان و ارگانی حمایت مالی دریافت نکرده است.

References

- Goudzal A, El Aissouq A, El Hamdani H, Ouammou A. QSAR modeling, molecular docking studies and ADMET prediction on a series of phenylaminopyrimidine-(thio) urea derivatives as CK2 inhibitors. *Mater Today* 2022;51:1851-62. doi: 10.1016/j.matpr.2020.08.044.
- Yang M, Xi Q, Jia W, Wang X. Structure-based analysis and biological characterization of imatinib derivatives reveal insights towards the inhibition of wild-type BCR-ABL and its mutants. *Bioorg Med Chem Lett* 2019;29:126758. doi:10.1016/j.bmcl.2019.126758.
- Oliveira A, Moura S, Pimentel L, Neto J, Dantas R, Silva-Jr F, et al. New imatinib derivatives with antiproliferative activity against A549 and K562 cancer cells. *Molecules* 2022;27:750. doi: 10.3390/molecules27030750.
- An X, Tiwari AK, Sun Y, Ding P-R, Ashby Jr CR, Chen Z-S. BCR-ABL tyrosine kinase inhibitors in the treatment of Philadelphia chromosome positive chronic myeloid leukemia: a review. *Leuk Res* 2010;34:1255-68. doi:10.1016/j.leukres.2010.04.016.
- Luo H, Quan H, Xie C, Xu Y, Fu L, Lou L. HH-GV-678, a novel selective inhibitor of Bcr-Abl, outperforms imatinib and effectively overrides imatinib resistance. *Leukemia* 2010;24:1807-9. doi:10.1038/leu.2010.169.
- Hamzehali H, Lotfi S, Ahmadi S, Kumar P. Quantitative structure–activity relationship modeling for predication of inhibition potencies of imatinib derivatives using SMILES attributes. *Sci Rep* 2022;12:21708. doi:10.1038/s41598-022-26279-8.
- Kumar P, Kumar A, Singh D. CORAL: Development of a hybrid descriptor based QSTR model to predict the toxicity of dioxins and dioxin-like compounds with correlation intensity index and consensus modelling. *Environ Toxicol Pharmacol* 2022; 93:103893. doi: 10.1016/j.etap.2022.103893.
- Toropova A, Toropov A, Viganò E, Colombo E, Roncaglioni A, Benfenati E. Carcinogenicity prediction using the index of ideality of correlation. *SAR QSAR Environ Res* 2022;33:419-28. doi:10.1080/1062936X.2022.2076736.
- Toropova AP, Toropov AA, Roncaglioni A, Benfenati E. The index of ideality of correlation improves the predictive potential of models of the antioxidant activity of tripeptides from frog skin (*Litoria rubella*). *Comput Biol Med* 2021;133:104370. doi:10.1016/j.combiomed.2021.104370.
- Kyaw Zin PP, Borrel A, Fourches D. Benchmarking 2D/3D/MD-QSAR Models for Imatinib Derivatives: How Far Can We Predict? *J Chem Inf Modl* 2020; 60:3342-60. doi:10.1021/acs.jcim.0c00200.
- Lotfi S, Ahmadi S, Kumar P. A hybrid descriptor based QSPR model to predict the thermal decomposition temperature of imidazolium ionic liquids using Monte Carlo approach. *J Mol Liq* 2021;338:116465. doi:10.1016/j.molliq.2021.116465.
- Duhan M, Sindhu J, Kumar P, Devi M, Singh R, Kumar R, et al. Quantitative structure activity relationship studies of novel hydrazone derivatives as α -amylase inhibitors with index of ideality of correlation. *J Biomol Struct Dyn* 2022;40: 4933-53. doi:10.1080/07391102.2020.1863861.
- Achary P, Toropova A, Toropov A. Combinations of graph invariants and attributes of simplified molecular input-line entry system (SMILES) to build up models for sweetness. *Food Res Int* 2019;122:40-6. doi:10.1016/j.foodres.2019.03.067.
- Ahmadi S, Azimi N. Quasi-SMILES-Based QSPR/QSAR Modeling. *QSPR/QSAR Analysis Using SMILES and Quasi-SMILES*: Springer; 2023. p. 191-210. doi:10.1007/978-3-031-28401-4_8.
- Ahmadi S. Mathematical modeling of cytotoxicity of metal oxide nanoparticles using the index of ideality correlation criteria. *Chemosphere* 2020;242:125192. doi:10.1016/j.chemosphere.2019.125192.
- Das NR, Sharma T, Mallick A, Toropova AP, Toropov AA, Achary P. Computational Approach in Designing and Development of Novel Inhibitors of AKR1C1. *Ambient Intelligence in Health Care*: Springer; 2023. p. 325-37. doi:10.1007/978-981-19-6068-0_32.
- Ghaedi A. Predicting the cytotoxicity of ionic liquids using QSAR model based on SMILES optimal descriptors. *J Mol Liq* 2015;208:269-79. doi: 10.1016/j.molliq.2015.04.049.
- Singh R, Kumar P, Devi M, Lal S, Kumar A, Sindhu J, et al. Monte Carlo based QSGFEAR: prediction of Gibb's free energy of activation at different temperatures using SMILES based descriptors. *New J Chem* 2022;46:19062-72. doi:10.1039/D2NJ03515D.
- Ahmadi S, Lotfi S, Kumar P. Quantitative structure–toxicity relationship models for predication of toxicity of ionic liquids toward leukemia rat cell line IPC-81 based on index of ideality of correlation. *Toxicol Mech Methods* 2022; 32:302-12. doi:10.1080/15376516.2021.2000686.
- Lotfi S, Ahmadi S, Kumar P. The Monte Carlo approach to model and predict the melting point of imidazolium ionic liquids using hybrid optimal descriptors. *RSC Adv*

- 2021;11:33849-57.
doi:
10.1039/D1RA06861J.
21. Ahmadi S, Ketabi S, Qomi M. CO₂ uptake prediction of metal-organic frameworks using quasi-SMILES and Monte Carlo optimization. *New J Chem* 2022;46:8827-37.
doi:10.1039/D2NJ00596D.
22. Kumar P, Kumar A. CORAL: QSAR models of CB1 cannabinoid receptor inhibitors based on local and global SMILES attributes with the index of ideality of correlation and the correlation contradiction index. *Chemo Intell Lab Syst* 2020;200:103982.
doi:
10.1016/j.chemolab.2020.103982.
23. Shayanfar A, Shayanfar S. Is regression through origin useful in external validation of QSAR models? *Eur J Phar Sci* 2014;59:31-5.
doi:10.1016/j.ejps.2014.03.007.
24. Consonni V, Ballabio D, Todeschini R. Comments on the definition of the Q₂ parameter for QSAR validation. *J Chem Inf Model* 2009;49:1669-78.
doi:
10.1021/ci900115y.
25. Roy K, Kar S. The rm2 metrics and regression through origin approach: Reliable and useful validation tools for predictive QSAR models (Commentary on 'Is regression through origin useful in external validation of QSAR models?'). *Eur J Pharm Sci* 2014;62:111-4.
doi:10.1016/j.ejps.2014.05.019.
26. Lawrence I, Lin K. Assay validation using the concordance correlation coefficient. *Biometrics* 1992;59:604.
doi:10.2307/2532314.
27. Rücker C, Rücker G, Meringer M. Y-randomization and its variants in QSPR/QSAR. *J Chem Inf Model* 2007;47:2345-57.
doi: 10.1021/ci700157b.
28. Toropova AP, Toropov AA, Veselinović AM, Veselinović JB, Benfenati E, Leszczynska D, et al. Nano-QSAR: Model of mutagenicity of fullerene as a mathematical function of different conditions. *Ecotoxicol Environ Saf* 2016;124:32-6.
doi:10.1016/j.ecoenv.2015.09.038.
29. Chirico N, Gramatica P. Real external predictivity of QSAR models. Part 2. New intercomparable thresholds for different validation criteria and the need for scatter plot inspection. *J Chem Inf Model* 2012;52:2044-58.
doi:10.1021/ci300084j.
30. Yordanova D, Schultz TW, Kuseva C, Tankova K, Ivanova H, Dermen I, et al. Automated and standardized workflows in the OECD QSAR Toolbox. *Comput Toxicol* 2019;10:89-104.
doi:10.1016/j.comtox.2019.01.006.
31. Gatidou G, Vazaiou N, Thomaidis NS, Stasinakis AS. Biodegradability assessment of food additives using OECD 301F respirometric test. *Chemosphere*
2020;241:125071.
doi:
10.1016/j.chemosphere.2019.125071.
32. Marzo M, Lavado G, Como F, Toropova A, Toropov A, Baderna D, et al. QSAR models for biocides: The example of the prediction of *Daphnia magna* acute toxicity. *SAR QSAR Environ Res* 2020;31:227-43.
doi:10.1080/1062936X.2019.1709221.
33. Soleymani N, Ahmadi S, Shiri F, Almasirad A. QSAR and molecular docking studies of isatin and indole derivatives as SARS 3CLpro inhibitors. *BMC Chem* 2023;17:32.
doi:
10.1186/s13065-023-00947-w.
34. Azimi A, Ahmadi S, Kumar A, Qomi M, Almasirad A. SMILES-based QSAR and molecular docking study of oseltamivir derivatives as influenza inhibitors. *PACs* 2023;43:3257-77.
doi:10.1080/10406638.2022.2067194.
35. Toropova AP, Schultz TW, Toropov AA. Building up a QSAR model for toxicity toward *Tetrahymena pyriformis* by the Monte Carlo method: A case of benzene derivatives. *Environ Toxicol Pharmacol* 2016;42:135-45.
doi:10.1016/j.etap.2016.01.010.